





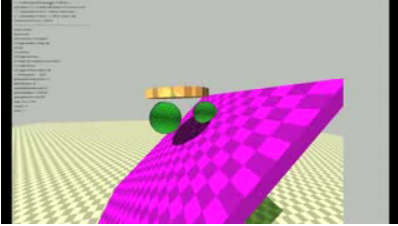

Virtuelle Realität Kollisionsdetektion

G. Zachmann
Clausthal University, Germany
cg.in.tu-clausthal.de



Anwendungsbeispiele

Virtual Prototyping



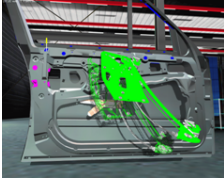
Physikalisch basierte Simulation

G. Zachmann Virtuelle Realität und Simulation – WS 10/11

Kollisionserkennung 2

Einsatzgebiete von Kollisionserkennung

- Grundlegende Operation:
 - Physikalisch-basierte Simulation
 - Interaktion in VR
 - Haptisches Rendering
- Anwendungsfelder:
 - Spiele, Animation, Medizin, Virtual Prototyping, Pfadplanung, Teleoperation, Roboter-Kollisionsvermeidung, ...





Hierarchische Kollisionserk.

G. Zachmann Virtuelle Realität und Simulation – WS 10/11 Kollisionserkennung 3

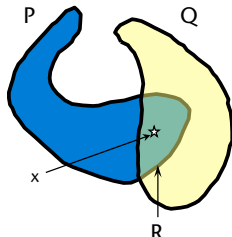
Koll.erkennung innerhalb einer Simulation

- Main loop:
 - Objekte bewegen
 - Kollisionen checken
 - Kollisionen behandeln, z.B.: Objekte zurückbewegen, Kräfte bestimmen
- Kollisionen stellen zwei Probleme:
 - Kollisionserkennung
 - Kollisionsbehandlung
- Im folgenden: Kollisionserkennung

G. Zachmann Virtuelle Realität und Simulation – WS 10/11 Kollisionserkennung 4

Definitionen

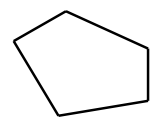
- Gegeben $P, Q \subseteq \mathbb{R}^3$
- Erkennungsproblem (“*detection problem*”):
 “P und Q kollidieren”: \Leftrightarrow
 $P \cap Q \neq \emptyset \Leftrightarrow$
 $\exists x \in \mathbb{R}^3: x \in P \wedge x \in Q$
- Konstruktionsproblem (“*construction problem*”):
 $R := P \cap Q$
- Definition “*Kollision*” für polygonale Objekte:
 P, Q kollidieren \Leftrightarrow
 $\exists f \in F^P \exists f' \in F^Q: f \cap f' \neq \emptyset$
- Andere Definition in der Spielebranche



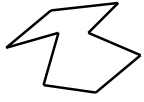
G. Zachmann Virtuelle Realität und Simulation – WS 10/11 Kollisionserkennung 5

Objekt-Klassen


- konvex
- geschlossen, einfach
(keine Selbstdurchdringung)
- Sack Polygone (“*polygon soup*”)
 - nicht notwendig geschlossen
 - doppelte Polygone
 - koplanare Polygone
 - Selbstdurchdringungen
 - degenerierte Polygone
 - Löcher
- starr / flexibel



konvex



einfach & geschlossen



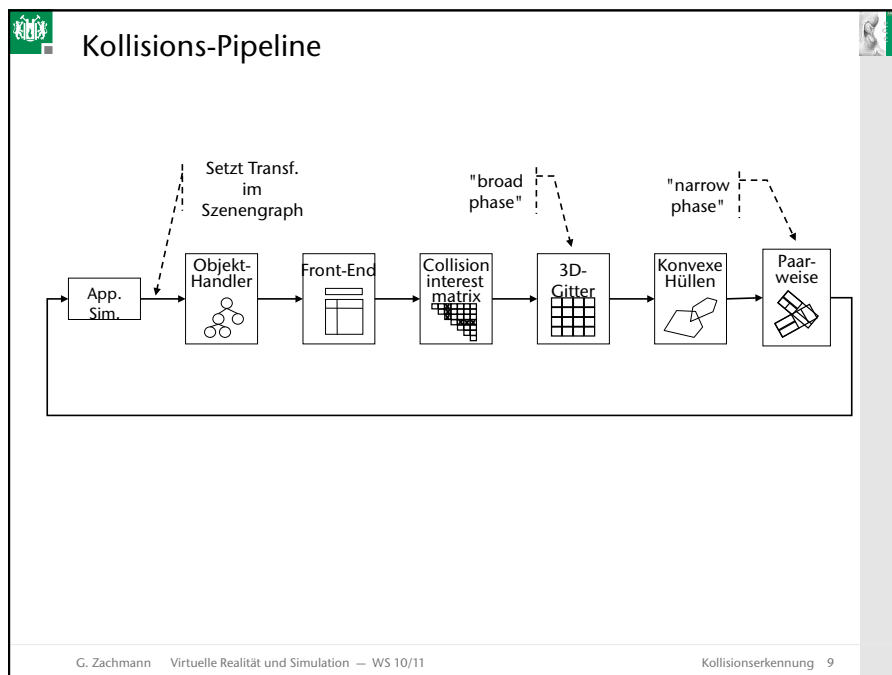
polygon soup

G. Zachmann Virtuelle Realität und Simulation – WS 10/11 Kollisionserkennung 7

Anforderungen an Kollisionserkennung

- Möglichst große Klasse von Objekten
- Viele bewegliche Objekte (einige 1000)
- Schnell, damit physikalische Simulation iterieren kann (wenigstens $2 \times 100,000$ Polygone in < 1 Millisek.)
- Kollisionspunkt ("*witness*"), falls Kollision; und optional: alle Kollisionspunkte
- Nicht zu große zusätzliche Datenstrukturen ($< 2x$); der Aufbau dieser Datenstrukturen sollte nicht zu lange dauern, damit man das zur Ladezeit machen kann (< 5 sec / Objekt)

G. Zachmann Virtuelle Realität und Simulation – WS 10/11 Kollisionserkennung 8



Die Collision-Interest Matrix

- Anwendungsspezifisch:
 - Verschiedene Module interessieren sich für verschiedene Paare;
 - manche Objekt-Paare kollidieren immer, manche Paare können nicht kollidieren;
- Vermeide unnötige Kollisionstests
⇒ *Collision-Interest Matrix*
- Dreiecks-Matrix, Elemente enthalten:
 - Flag, ob Kollisionserkennung
 - bei inkrementellen Algos
Infos zum Status beim letzten Frame
(z.B. bei Algo S die separierende Ebene)
 - *Callbacks* in die Module

Obj	1	2	3	4	5	6	7	8
1		x	x	x	x			
2					x			
3						x		x
4							x	
5								x
6								
7								x
8								

G. Zachmann Virtuelle Realität und Simulation – WS 10/11 Kollisionserkennung 10

Mehrkörper-Kollisionserkennung

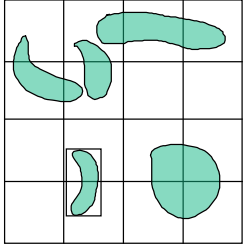
- Kollisionserkennung vieler Objekte:
 - Schließe jedes Objekt in eine Bounding-Box ein;
vergleiche deren BBoxes vor dem exakten Koll.test
- n Objekte bewegen sich
→ *brute-force* Methode muss $O(n^2)$ BBoxes vergleichen.
- Idee:
 - versuche zum Objekt P schnell die “Nachbarn” zu finden und
mache nur mit diesen Bbox-Vergleiche
 - → Raum-Gitter, *Sweep-Plane*, etc.

G. Zachmann Virtuelle Realität und Simulation – WS 10/11 Kollisionserkennung 11

Raum-Gitter


Idee:

1. Teile die "Welt" in regelmäßiges Gitter.
2. Objekte "benachbart", wenn sie gemeinsame Gitterzelle(n) belegen.
3. Bestimme Zellen-Belegung anhand der BBoxes (exakte Bestimmung zu teuer)
4. Objekt bewegt sich
→ Gitter updaten.



Trade-Off:

- weniger Zellen = größere Zellen
→ entfernte Objekte sind "benachbart";
- mehr Zellen = kleinere Zellen
→ Objekte belegen mehr Zellen
→ Aufwand zum Update wird größer



G. Zachmann Virtuelle Realität und Simulation – WS 10/11 Kollisionserkennung 12

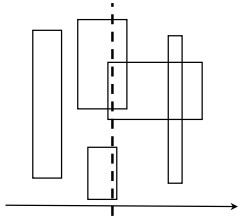
Plane-Sweep

Idee:

Lasse eine Ebene senkrecht zur x-Achse durch den Raum streichen ("sweep")

Algo:

- sortiere x-Koord. der Box-Ränder
- starte mit der linken Box
- führe Liste "aktiver" Boxes
- springe von Box-Rand zu Box-Rand:
- if** aktueller Box-Rand ist "linke" Seite einer Box
- füge diese Box zur aktiven Liste hinzu
- checke neue Box gegen alle anderen in der aktiven Liste (2D)
- else**
- entferne diese Box aus der aktiven Liste



G. Zachmann Virtuelle Realität und Simulation – WS 10/11 Kollisionserkennung 13

Szenengraph

Idee:

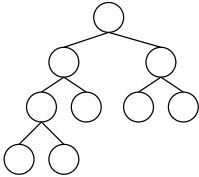
- Verwende die Hierarchie des Szenen-Graphen,
- Analog zu hierarchischer Koll.erkennung.

Unterschiede:

- Nur 1 Hierarchie statt 2;
- Blätter = Objekte (statt Blätter = Polygone);
- Alle Blätter bewegen sich.

Probleme:

- Hierarchie wird schnell ineffizient,
- Oft keine Hierarchie von außen vorgegeben.
(Bsp.: Auto-Daten)



G. Zachmann Virtuelle Realität und Simulation – WS 10/11 Kollisionserkennung 14

Frame-to-Frame Coherence

- Beobachtung:
Zwei aufeinander folgende Bilder in einer zusammenhängenden Sequenz unterscheiden sich (meistens) wenig.
- Beispiele
 - Kamerabewegung
 - Objektbewegung
- Anwendungen
 - Computer Vision (Bsp.: Tracking von Markern)
 - MPEG
 - Kollisionserkennung
 - Ray Tracing von Animationen (?)
- Algorithmen basierend auf frame-to-frame coherence heißen **“inkrementell”**, manchmal auch **“dynamisch”** oder **“on-line”**


G. Zachmann Virtuelle Realität und Simulation – WS 10/11 Kollisionserkennung 26

Konvexe Objekte

- Definition “konvexer Polyeder”:

$$P \subset \mathbb{R}^3 \text{ konvex} \Leftrightarrow \forall x, y \in P : \overline{xy} \subset P \Leftrightarrow P = \bigcap_{i=1, \dots, n} H_i, H_i = \text{Halbräume}$$
- Bedingung für Nicht-Kollision: “linear separierbar”

$$P \cap Q = \bigcap_{i=1}^{n_1+n_2} H_i = \emptyset \Leftrightarrow \exists i : P \subseteq H_i \wedge Q \subseteq H_i^c$$
 (“P liegt ganz auf der einen Seite von H_i , Q liegt ganz auf der anderen Seite”)

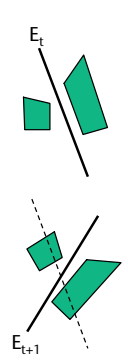


G. Zachmann Virtuelle Realität und Simulation – WS 10/11 Kollisionserkennung 27

Algorithmus “separierende Ebene”

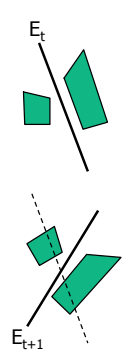
- Idee:

wenn im letzten Frame E eine trennende Ebene zwischen P und Q war, dann ist in diesem Frame die trennende Ebene “in der Nähe” von E (evtl. ist es sogar dieselbe).



G. Zachmann Virtuelle Realität und Simulation – WS 10/11 Kollisionserkennung 29

E_t war separierende Ebene zu P,Q im Frame t gewesen
 $E := E_t$
repeat max n times
 if es ex. $v \in V^P$ auf der Rückseite von E
 drehe/verschiebe E, so daß v auf der Vorderseite
 if es ex. $v \in V^Q$ auf der Vorderseite von E
 drehe/verschiebe E, so daß v auf der Rückseite
 if kein $v \in V^P$ und kein $v \in V^Q$ auf der “falschen” Seite
 return “keine Kollision”
 es gibt immer noch v’s auf der “falschen” Seite
 return “Kollision” {kann manchmal falsch sein}
 speichere $E_{t+1} := E$ für’s nächste Frame

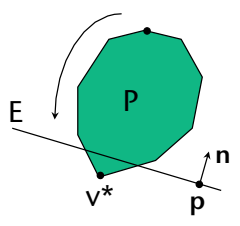


G. Zachmann Virtuelle Realität und Simulation – WS 10/11 Kollisionserkennung 30

Finde schnell eine Ecke auf der “falschen” Seite

- Brute-Force: teste für alle v ob

$$f(v) = (v - p) \cdot n > 0$$
- Beobachtungen:
 1. f ist linear,
 2. $\exists^1 v^* : f(v^*) = \min$
 3. P konvex $\Rightarrow f(x)$ hat genau ein lokales Minimum über allen Punkten x auf der Oberfläche von P (oder mehrere und diese liegen parallel zu E)
- Algo (minimales v bzgl. f suchen)
 - starte mit irgendeiner Ecke v
 - gehe zu demjenigen Nachbarn v' von v , für das f am kleinsten ist
 - fertig, falls es kein “kleineres” v' gibt



G. Zachmann Virtuelle Realität und Simulation – WS 10/11 Kollisionserkennung 31

Eigenschaften des Algorithmus'

- + Erwartete Laufzeit ist $O(1)$!
 Der Algo nützt *frame-to-frame coherence* aus:
 wenn sich die Objekte wenig bewegt haben, dann muss man
 nur überprüfen, dass die separierende Ebene immer noch eine ist;
 wenn die trennende Ebene ein bisschen verschoben werden
 muss, dann ist man meistens nach wenigen Iterationen fertig.
- + Funktioniert auch für sich verformende Objekte,
 solange sie konvex bleiben
- Funktioniert nur für konvexe Objekte
- Terminiert nicht notwendigerweise;
 also bricht man die Schleife nach **max** erfolglosen Versuchen ab;
 dann kann der Algo ein falsches Ergebnis liefern.
- *Frage: Gibt es eine deterministische Variante ?!*

G. Zachmann Virtuelle Realität und Simulation – WS 10/11 Kollisionserkennung 32

Closest Feature Tracking

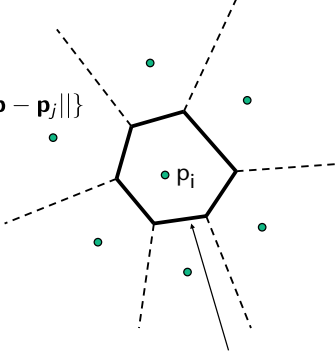
- Vorgestellt von Lin & Canny 1992
 (→ Lin-Canny-Algorithmus)
- Idee
 - Verfolge Minimalabstand zwischen beiden Objekten
 - Wird realisiert durch je ein Punkt auf der Oberfläche
 - Bei kontinuierlicher Bewegung der Objekte wandern diese Punkte
 kontinuierlich über die Oberfläche
- Zugrunde liegende Verfahren
 - Voronoi-Diagramme
 - “closest features”

G. Zachmann Virtuelle Realität und Simulation – WS 10/11 Kollisionserkennung 33

Voronoi-Diagramme zu Punkten

- Gegeben eine Menge Punkte $S = \{p_i\}$
- Definition Voronoi-Region :

$$V_i := \{p \in \mathbb{R}^2 \mid \forall j \neq i : \|p - p_i\| < \|p - p_j\|\}$$
- Definition Voronoi-Diagramm :
Menge aller Voronoi-Regionen zu den Punkten in S .
- Partition der Ebene in Kanten und Voronoi-Regionen



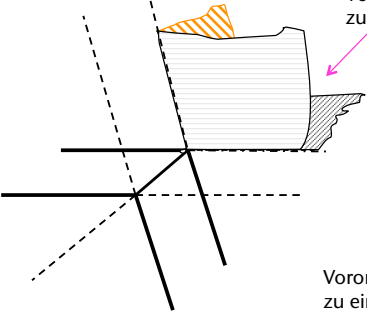
Voronoi-Region zu einem Punkt

- Interaktive Demo: <http://web.cs.uni-bonn.de/l/GeomLab/VoroGlide/>

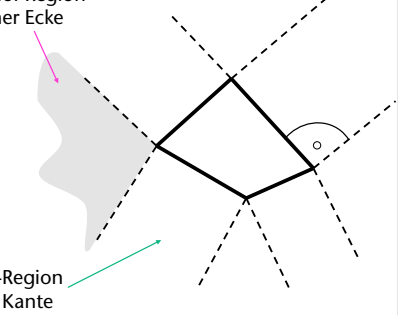
G. Zachmann Virtuelle Realität und Simulation – WS 10/11 Kollisionserkennung 34

Voronoi-Diagramme zu Polyedern

Voronoi-Regionen in 3D



Voronoi-Regionen in 2D



Äußere Voronoi-Regionen sind für konvexe Objekte sehr einfach zu konstruieren!
(Innere Voronoi-Regionen brauchen wir nicht.)

G. Zachmann Virtuelle Realität und Simulation – WS 10/11 Kollisionserkennung 35

Äußere Voronoi-Regionen eines Polyeders

The external Voronoi regions of ...

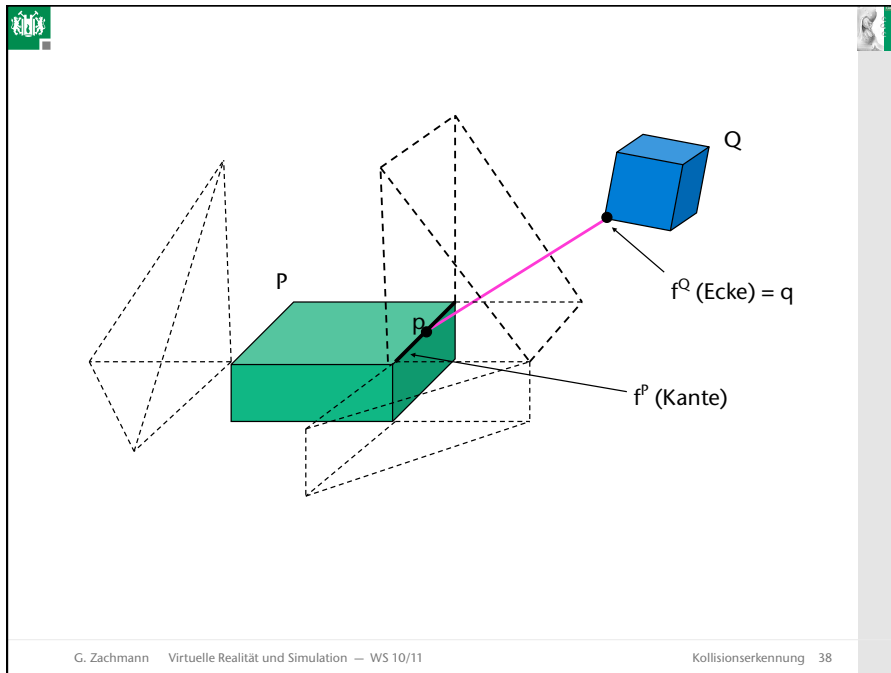
- (a) faces
- (b) edges
- (c) a single edge
- (d) vertices

G. Zachmann Virtuelle Realität und Simulation – WS 10/11 Kollisionserkennung 36

Closest Features

- Definition *Feature* f^P :=
Ecke, Kante oder Polygon eines Polyeders P .
- Definition "*Closest Feature*":
Seien f^P und f^Q zwei Features auf P bzw. Q , und seien p, q Punkte auf f^P bzw. f^Q die den minimalen Abstand von P und Q realisieren, d.h., $d(P, Q) = d(f^P, f^Q) = \|p - q\|$.
Dann heißen "*closest features*".
- Lemma:
Sei $V(f)$ die Voronoi-Region zu einem Feature f ;
 f^P, f^Q sind "*closest features*" \Leftrightarrow
 p liegt in $V(f^Q)$, q liegt in $V(f^P)$.

G. Zachmann Virtuelle Realität und Simulation – WS 10/11 Kollisionserkennung 37

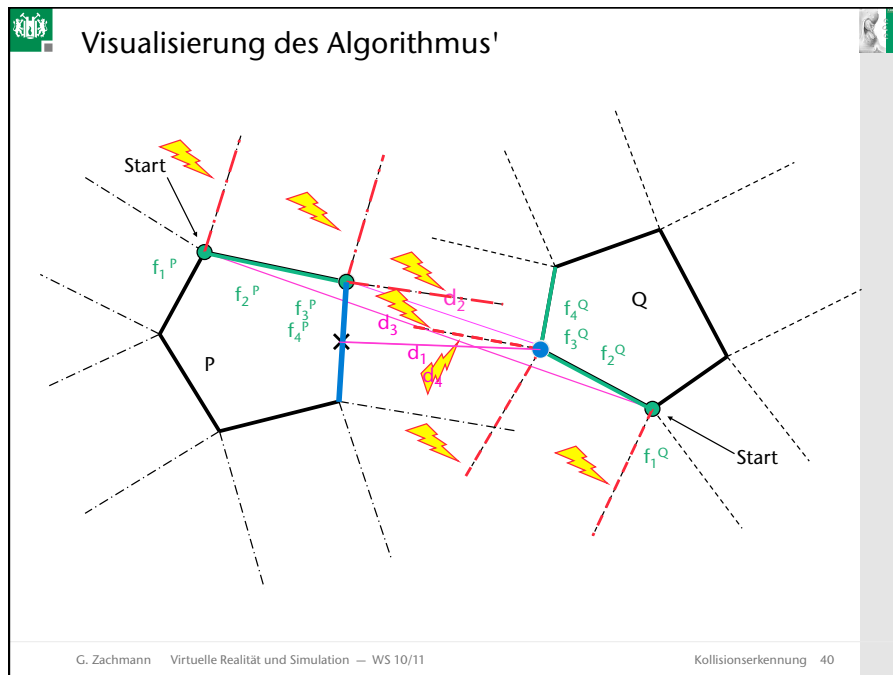


Algorithmus

starte mit zwei beliebigen Features f^P, f^Q auf P bzw. Q
while (f^P, f^Q) sind noch nicht closest features && $d(f^P, f^Q) > 0$
 if (f^P, f^Q) wurde schon einmal betrachtet
 return "Kollision" (weil Zyklus)
 bestimme p und q, die den Abstand zwischen f^P, f^Q realisieren
 if $p \in V_q$ und $q \in V_p$
 return "keine Kollision", (f^P, f^Q) sind closest features
 if ex. eine Seite von V_q bzgl. der p auf der falschen Seite liegt
 $f^P \leftarrow$ das Feature der "dahinter" liegenden Voronoi-Region
 analog für q, falls $q \notin V_p$
if $d(f^P, f^Q) > 0$
 return "keine Kollision"
else
 return "Kollision"

Achtung: bei Kollision befinden sich einige Features im Innern des anderen Objektes, aber im Innern ex. keine Voronoi-Regionen!

G. Zachmann Virtuelle Realität und Simulation – WS 10/11 Kollisionserkennung 39



Anmerkungen

- Kleine Denkaufgabe:
Das *Voronoi-Diagramm* braucht man eigentlich nicht!
(aber mit *Voronoi-Diagramm* ist der Algo schneller)
- Berechnungsdauer hängt ab vom "Maß" der zeitlichen Kohärenz
- Verbesserung durch *Lookup-Table*:
trage sphärische Koordinaten der Features
in Tabelle ein

G. Zachmann Virtuelle Realität und Simulation — WS 10/11

Kollisionserkennung 41

Movie

Incremental Collision Detection for Polygonal Models

Madhav K. Ponamgi
Jonathan D. Cohen
Ming C. Lin
Dinesh Manocha

G. Zachmann Virtuelle Realität und Simulation – WS 10/11 Kollisionserkennung 42

Hierarchische Kollisionserkennung

- Für “*Polygon soups*”
- Algorithmentechnik:
Divide & Conquer

G. Zachmann Virtuelle Realität und Simulation – WS 10/11 Kollisionserkennung 43

Bounding Volume Hierarchy (BVH)

- Schließe alle Polygone aus P in ein Hüllvolumen (*bounding volume*) $BV(P)$ ein
- Teile P auf in $P_1, P_2, P_3, \dots, P_n$ mit $P_1 \cup P_2 \cup P_3 \cup \dots \cup P_n = P$
- Rekursiv für die P_i .

→ *bounding volume hierarchy*

G. Zachmann Virtuelle Realität und Simulation – WS 10/11 Kollisionserkennung 44

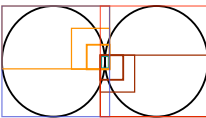
Simultane Traversierung

traverse(X, Y)
if X,Y do not overlap **then**
 return
if X,Y are leaves **then**
 check polygons
else
 for all children pairs **do**
 traverse(X_i, Y_j)

Bounding Volume Test Tree (BVTT)

G. Zachmann Virtuelle Realität und Simulation – WS 10/11 Kollisionserkennung 45

Einfache Laufzeit-Abschätzung

- Best-case: $O(\log n)$

- Einfache *average-case* Abschätzung:
 - $P[k]$ = Wahrsch.keit daß genau k Kinderpaare überlappen, $k \in [0, \dots, 4]$

$$P[k] = \frac{1}{16} \binom{4}{k}$$
 - Annahme: alle Ereignisse sind gleich wahrscheinlich
 - Erwartete Laufzeit :

$$T(n) = \frac{1}{16} \cdot 0 + \frac{4}{16} \cdot T\left(\frac{n}{2}\right) + \frac{6}{16} \cdot 2T\left(\frac{n}{2}\right) + \frac{4}{16} \cdot 3T\left(\frac{n}{2}\right) + \frac{1}{16} \cdot 4T\left(\frac{n}{2}\right)$$

$$T(n) = 2T\left(\frac{n}{2}\right) \in O(n)$$
- In der Praxis besser

Bounding Volume Test Tree (BVTT)



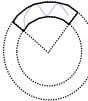
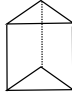

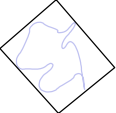

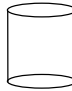
G. Zachmann Virtuelle Realität und Simulation – WS 10/11 Kollisionserkennung 46

Bounding Volumes

Anforderungen:

- sehr schneller Überlappungstest
- auch dann, wenn die *Bounding Volumes* rotiert oder transl. sind!
→ "einfache" *Bounding Volumes*
- eine Überdeckung des ganzen Raumes sollte möglichst wenig mehrfach belegten Raum haben → "tight BVs"

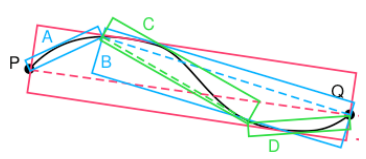
Einige mögliche *Bounding Volumes*:

 Box (AABB)	 k-DOP hier z.B. 8-DOP	 Kugelschale (spherical shell)	 Prisma
 Kugel	 OBB (oriented bounding box)	 Konvexe Hülle	 Zylinder

G. Zachmann Virtuelle Realität und Simulation – WS 10/11 Kollisionserkennung 47

The Wheel of Re-Invention

- OBB-Trees: wurden für 2D-Kurven in 1981 schon von Dana Ballard vorgeschlagen, nannten diese "strip trees"



- AABB-Hierarchien: wurden in den 80er Jahren auch in der Datenbank-Gemeinde erfunden, heißen dort "R-Tree", "R*-Tree", "X-Tree", etc.

G. Zachmann Virtuelle Realität und Simulation — WS 10/11 Kollisionserkennung 48

Exkurs: Das Rad der Fortuna




Boccaccio De Casibus Virorum Illustrium Paris: 1467



Codex Buranus

G. Zachmann Virtuelle Realität und Simulation — WS 10/11 Kollisionserkennung 49

Schnitttest für konvexe BVs (Polyeder)



- Hermann Minkowski (1864 – 1909), deutscher Mathematiker und Physiker
- Definition (*Minkowski-Summe*):
Seien A und B Teilmengen eines Vektorraums; die Minkowski-Summe von A und B ist

$$A \oplus B = \{\mathbf{a} + \mathbf{b} \mid \mathbf{a} \in A, \mathbf{b} \in B\}$$
- Entsprechend die *Minkowski-Differenz*:

$$A \ominus B = \{\mathbf{a} - \mathbf{b} \mid \mathbf{a} \in A, \mathbf{b} \in B\}$$
- Zusammenhang zwischen *Minkowski-Summe* und *-Differenz*:

$$A \ominus B = A \oplus (-B)$$
- Anwendungen: Computergraphik, Bildverarbeitung, Lineare Optimierung, Roboter-Pfadplanung, ...

G. Zachmann Virtuelle Realität und Simulation – WS 10/11 Kollisionserkennung 51

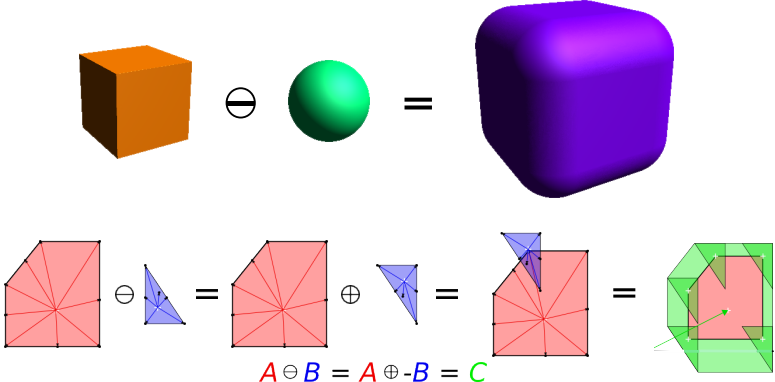
- Intuitive "Berechnung" der Minkowski-Summe:



- Achtung: das gelbe Polygon zeigt die Minkowski-Summe **modulo(!)** eventueller Translationen!

G. Zachmann Virtuelle Realität und Simulation – WS 10/11 Kollisionserkennung 52

▪ Weitere Beispiele:



▪ Dieses Objekt nennt man auch das *Configuration Space Obstacle (CSO)*

G. Zachmann Virtuelle Realität und Simulation – WS 10/11 Kollisionserkennung 53

▪ Eigenschaften

▪ *Minkowski-Summen* sind:

- Kommutativ: $A \oplus B = B \oplus A$
- Assoziativ: $A \oplus (B \oplus C) = (A \oplus B) \oplus C$
- Distributiv bzgl. Vereinigung: $A \oplus (B \cup C) = (A \cup B) \oplus (A \cup C)$
- Invariant (in gewissem Sinne) gegenüber Translation: $T(A) \oplus B = T(A \oplus B)$

▪ *Minkowski-Differenz*:


$$T(A) \ominus T(B) = A \ominus B$$

G. Zachmann Virtuelle Realität und Simulation – WS 10/11 Kollisionserkennung 54

Exact Minkowski Sums of Convex Polyhedra

Efi Fogel and Dan Halperin

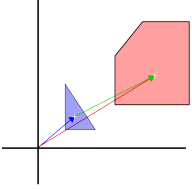
School of Computer Science
Tel Aviv University

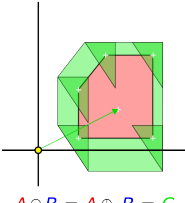


G. Zachmann Virtuelle Realität und Simulation – WS 10/11
Kollisionserkennung 55

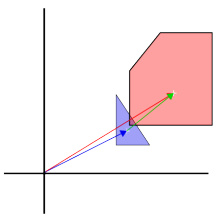
Schnitttest für zwei konvexe BVs

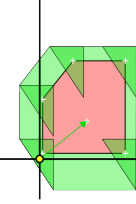
- A und B schneiden sich $\Leftrightarrow 0 \in A \ominus B$
- Beispiel:





$A \ominus B = A \ominus B = C$





$A \ominus B = A \ominus B = C$

Der Koordinatenursprung befindet sich in der Minkowski-Differenz C

G. Zachmann Virtuelle Realität und Simulation – WS 10/11
Kollisionserkennung 57

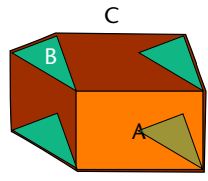
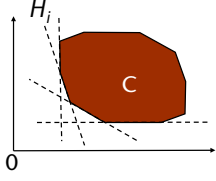
Schnitttest für Oriented Bounding Boxes (OBB)

- Lemma "*Separating Axis Test*" (SAT):
Seien A, B zwei konvexe Polytope (Polyeder).
Wenn es eine separierende Ebene gibt,
dann auch eine, die parallel zu einer Seite von A oder B ist,
oder parallel zu mindestens einer Kante von A und einer von B.
[Gottschalk, Lin, Manocha; 1996]
- Abwandlung des "*separating plane*" Lemmas
("separating axis" Lemma):
Zwei konvexe Polyeder überlappen sich nicht \Leftrightarrow
es gibt eine Gerade, so daß die Projektion der beiden
Objekte auf dieser Geraden sich nicht überlappen.
Diese Achse heißt "*separierende Achse*".

G. Zachmann Virtuelle Realität und Simulation – WS 10/11 Kollisionserkennung 59

Beweis des SAT-Lemmas

1. Annahme: A und B sind disjunkt
2. Betrachte Minkowski-Summe
3. Alle Faces von C sind entweder parallel zu einem Face von A, oder einem Face von B, oder parallel zu einer Kante von A *und* einer Kante von B
4. C ist konvex
5. $C = \bigcap_{i=1}^m H_i$
6. $A \cap B = \emptyset \Leftrightarrow (0, 0, 0) \notin C$
7. $\exists i : 0 \notin H_i$ (0 liegt außerhalb eines H_i)
8. Es gibt eine separierende Ebene für A und B, die parallel zu diesem H_i ist.

G. Zachmann Virtuelle Realität und Simulation – WS 10/11 Kollisionserkennung 60

Der SAT für OBBs

- OBdA: rechne im Koord.system von Box A
- Box A definiert durch: $C, a^1A^1, a^2A^2, a^3A^3$
- Position von B relativ zu A ist definiert durch R & T
- Im Koord.system von A: B^i sind Spalten von R
- Gemäß Lemma müssen wir **nur einige spezielle** Ebenen betrachten, um die Separierung festzustellen
- A,B überlappen, wenn $|T \cdot L| < r_A + r_B$ für jede dieser Ebenen
 - L = Normale der Ebene
- Anzahl solcher "spezieller" Achsen bei Boxes = 15

G. Zachmann Virtuelle Realität und Simulation – WS 10/11 Kollisionserkennung 61

- Bsp.: $L = A^1 \times B^2$
- Zu berechnen: $r_A = \sum_i a_i |A^i \cdot L|$ (und analog r_B)
- Bsp. 2-ter Term der Summe:

$$\begin{aligned}
 & a_2 A^2 \cdot (A^1 \times B^2) \\
 &= a_2 B^2 \cdot (A^2 \times A^1) \\
 &= a_2 B^2 \cdot A^3 \\
 &= a_2 R_{32}
 \end{aligned}$$

Wir rechnen in Koord.system von A
 $\rightarrow A^3$ ist 3-ter Einheitsvektor, und
 B^2 ist 2-te Spalte von R
- Für jede der 15 Achsen hat man einen Test der Form

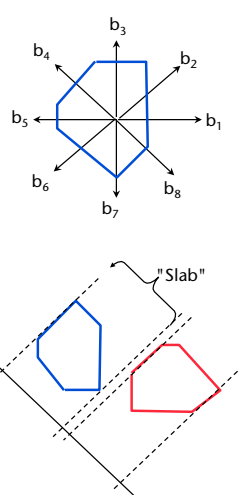
$$|T \cdot L| < a_2 |R_{32}| + a_3 |R_{22}| + b_1 |R_{13}| + b_3 |R_{11}|$$

G. Zachmann Virtuelle Realität und Simulation – WS 10/11 Kollisionserkennung 62

Schnitttest für Discretely Oriented Polytopes (k -DOPs)

- Definition:**
 Wähle k Vektoren $\mathbf{b}_i \in \mathbb{R}^3$ fest, k gerade,
 mit \mathbf{b}_i antiparallel zu $\mathbf{b}_{i+k/2}$.
 k -DOPs sind als Volumen beschrieben durch

$$D = \bigcap_{i=1..k} H_i \quad , \quad H_i : \mathbf{b}_i \cdot \mathbf{x} - d_i \leq 0$$
- Beschreibung eines k -DOP:** $D = (d_1 \dots d_k) \in \mathbb{R}^k$
- Überlappungstest:**
 $D^1 \cap D^2 = \emptyset \Leftrightarrow$
 $\forall i = 1, \dots, \frac{k}{2} : [d_i^1, d_{i+\frac{k}{2}}^1] \cap [d_i^2, d_{i+\frac{k}{2}}^2] = \emptyset$
 → $k/2$ Intervall-Tests

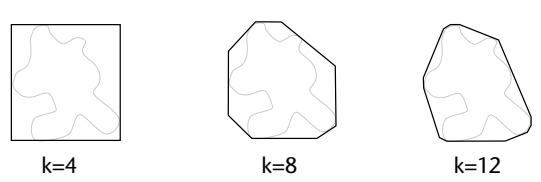


The diagram on the right shows a central point with eight vectors \mathbf{b}_1 through \mathbf{b}_8 pointing outwards. \mathbf{b}_1 and \mathbf{b}_5 are horizontal, \mathbf{b}_2 and \mathbf{b}_6 are at 45 degrees, \mathbf{b}_3 and \mathbf{b}_7 are vertical, and \mathbf{b}_4 and \mathbf{b}_8 are at 135 degrees. A blue polygon is formed by the intersection of half-spaces defined by these vectors. Below it, two overlapping polygons (one blue, one red) are shown between two parallel dashed lines labeled 'Slab'.

G. Zachmann Virtuelle Realität und Simulation – WS 10/11 Kollisionserkennung 63

Eigenschaften

- AABBs sind spezielle DOPs
- Überlappungstest $\in O(k)$, k = Anzahl Orientierungen
- Beliebig genaue Approximation der konvexen Hülle



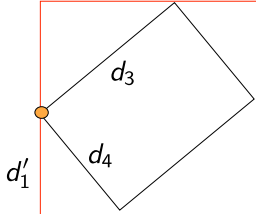
The diagram shows three stages of approximating a complex, irregular convex shape. The first is a square labeled $k=4$. The second is an octagon labeled $k=8$. The third is a dodecagon labeled $k=12$. The shape is shaded in light gray.

G. Zachmann Virtuelle Realität und Simulation – WS 10/11 Kollisionserkennung 64

Overlap test of DOPs

- Algorithmus für "schiefe" DOPs:
 - Objektbewegung: Rotation R & Translation T
 - Neuer DOP nach affiner Transformation des Objektes:

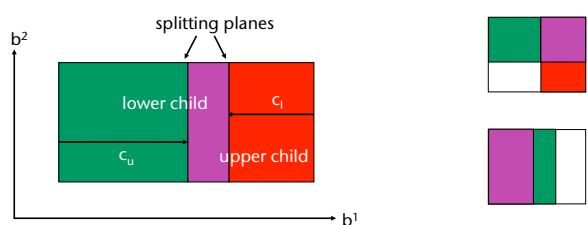
$$d'_i = \mathbf{B}_i \begin{pmatrix} \mathbf{b}_{j'_1} \\ \mathbf{b}_{j'_1} \\ \mathbf{b}_{j'_1} \end{pmatrix}^{-1} \begin{pmatrix} d_{j'_1} \\ d_{j'_1} \\ d_{j'_1} \end{pmatrix} + \mathbf{B}_i \mathbf{T},$$

$$\mathbf{b}_j = \mathbf{B}_i \mathbf{R}^{-1}$$


- Korrespondenz j'_i identisch für alle DOPs einer Hierarchie
- Aufwand: $O(k)$, früher $O(k^2)$

G. Zachmann Virtuelle Realität und Simulation – WS 10/11 Kollisionserkennung 65

Restricted Boustrees (Variante von k-d- bzw. AABB-Trees)

- Kombination von k-d tree und AABB:
 
- Speicher: 1 Float, 1 Achsen-ID, 1 Pointer (= 9 Bytes)
- Weitere Namen:
 - BIH (Bounding Interval Hierarchy)
 - SKD-Tree (spatial kd-Tree)

G. Zachmann Virtuelle Realität und Simulation – WS 10/11 Kollisionserkennung 66

- Overlap Tests durch Re-Alignment:
12 FLOPs (mit kleinem Trick: 8.5)
- Zum Vergleich:
 - SAT: 82 FLOPs
 - SAT lite: 24 FLOPs
 - Sphere test: 29 FLOPs
- Mehr dazu in
<http://zach.in.tu-clausthal.de/papers/vrst02.html>

The diagram illustrates the re-alignment process for overlap testing. It shows two overlapping rectangles, X (green) and Y (yellow). The center of rectangle X is labeled c^X and the center of rectangle Y is labeled c^Y . A dashed line labeled 's' indicates the direction of re-alignment. The overlap is shown as a yellow diamond shape within the intersection of the two rectangles.

G. Zachmann Virtuelle Realität und Simulation — WS 10/11 Kollisionserkennung 67

Performance

- Bsp. *Boxtree*:

The performance graphs compare 'Restr. Bboxtree' (red line) and 'DOP tree' (green line) for two objects: a car and a door lock. The y-axis represents time in milliseconds, and the x-axis represents the number of polygons in thousands.

car performance:

# polygons / 1000	Restr. Bboxtree (ms)	DOP tree (ms)
0	~0.1	~1.8
10	~0.1	~0.8
20	~0.1	~0.5
40	~0.1	~1.0
60	~0.1	~1.8

lock performance:

# polygons / 1000	Restr. Bboxtree (ms)	DOP tree (ms)
0	~0.1	~0.1
10	~0.1	~0.3
20	~0.1	~0.4
30	~0.1	~0.5
40	~0.1	~0.5
50	~0.1	~0.5
60	~0.1	~0.5
70	~0.1	~0.5
80	~0.1	~0.5
90	~0.1	~0.5
100	~0.1	~0.5
150	~0.1	~0.5
200	~0.1	~0.5

Door lock (BMW) Car (courtesy VW)

G. Zachmann Virtuelle Realität und Simulation — WS 10/11 Kollisionserkennung 68

Konstruktion von BV-Hierarchien

- Hierarchie schlecht → Kollisionserkennung dauert lange.
- Algorithmus: *top-down*
 1. Berechne BV um gegebene Polygon-Menge
 2. Splitte Polygon-Menge
- Split-Kriterium?
- Erwartete Traversierungskosten:

$$C(X, Y) = 4 + \sum_{i,j=1,2} P(X_i, Y_j) C(X_i, Y_j)$$

$$\approx 4(1 + P(X_1, Y_1) + \dots + P(X_2, Y_2))$$

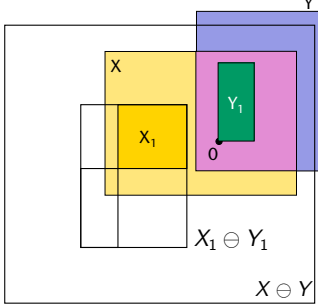
G. Zachmann Virtuelle Realität und Simulation – WS 10/11 Kollisionserkennung 69

- Eine Abschätzung von $P(X_i, Y_j)$
- Hilfsmittel dabei:
die Minkowski-Summe
- Erinnerung:

$$X_i \cap Y_j = \emptyset \Leftrightarrow 0 \notin X_i \ominus Y_j$$
- Die Wahrscheinlichkeit ist somit

$$P(X_i, Y_j) = \frac{|\text{günstige Fälle}|}{|\text{mögliche Fälle}|} = \frac{\text{vol}(X_i \ominus Y_j)}{\text{vol}(X \ominus Y)} = \frac{\text{vol}(X_i \oplus Y_j)}{\text{vol}(X \oplus Y)}$$

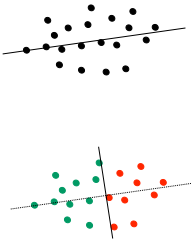
$$\approx \frac{\text{vol}(X_i) + \text{vol}(Y_j)}{\text{vol}(X) + \text{vol}(Y)}$$
- Fazit: Minimiere Summe der Volumen der Kind-BVs.



G. Zachmann Virtuelle Realität und Simulation – WS 10/11 Kollisionserkennung 70

Algorithmus

1. Orientierung für "gute" *Splitting-Ebene* aus PCA
2. Sortiere Polygone entlang dieser Achse
3. Suche Minimum mittels Plane-Sweep gemäß Volumen-Kriterium



- Komplexität:

$$T(n) = O(n \log n) + T(\alpha n) + T((1 - \alpha)n) \in O(n \log^2 n)$$

G. Zachmann Virtuelle Realität und Simulation – WS 10/11 Kollisionserkennung 71

Morphing Objects / BVs

- *Morphing*:
Gegeben n Objekte O^i , Vertices v_j^i , Gewichte w_i , $\sum_i w_i = 1$
Vertices des gemorphten Objektes $\bar{v}_j = \sum_{i=1}^n w_i v_j^i$, $j = 1, \dots, N$
- *Morphing* von DOPs:
Gegeben n DOPs $D^i = (S_1^i, \dots, S_{\frac{k}{2}}^i)$, $S_j^i = (s_j, e_j)$
gemorphter DOP $\bar{D} = (\bar{S}_1, \dots, \bar{S}_{\frac{k}{2}})$, $\bar{S}_j = (\sum w_i s_j^i, \sum w_i e_j^i)$
- Behauptung: $v_j^i \in D^i \Rightarrow \bar{v}_j \in \bar{D}$
- Bew.: $\bar{s}_j = \sum_{i=1}^n w_i s_j^i \leq \sum_{i=1}^n w_i (v^i \cdot b^j) \leq \sum_{i=1}^n w_i e_j^i = \bar{e}_j$
- Analog für Kugeln (klappt nicht für OBBs)

G. Zachmann Virtuelle Realität und Simulation – WS 10/11 Kollisionserkennung 73

■ Datenstruktur:
 BV-Hierarchie mit vielen BVs pro Knoten,
 müssen dieselben Polygone einschließen!

G. Zachmann Virtuelle Realität und Simulation – WS 10/11 Kollisionserkennung 74

■ Exakte interpolierte BVs

- Betrachte im folgenden nur eine Seite des BVs (DOPs, AABBs), gegeben durch \mathbf{n}
- Gesucht: Vertex wo folgendes Max angenommen wird

$$\max\{\mathbf{n}\bar{\mathbf{v}}_i \mid i = 1, \dots, N\}$$
- Sei i^* dieser Vertex, ist für einen ganzen Bereich Ω_{i^*} "maximal"

$$\Omega_{i^*} = \bigcap_{j=i} \{\mathbf{w} \mid (\mathbf{v}_j(\mathbf{w}) - \mathbf{v}_i(\mathbf{w})) \mathbf{n} > 0\} \subset \mathbb{R}^d$$
- Ω_{i^*} ist konvexer Kegel (Apex in 0)
- Wird i.a. definiert durch kleine Anzahl Seitenflächen

G. Zachmann Virtuelle Realität und Simulation – WS 10/11 Kollisionserkennung 75

- Zelle Ω_{i^*} hat kleine Anzahl Nachbarzellen mit je 1 gemeinsamen Begrenzungsfläche \rightarrow Adjazenzgraph

$$A = \{(i, j) \mid \Omega_i, \Omega_j \text{ haben gemeinsame Begr. seite}\}$$

- Damit wird Zelle Ω_{i^*} zu

$$\Omega_{i^*} = \bigcap_{(i^*, j) \in A} \{\mathbf{w} \mid (\mathbf{v}_i(\mathbf{w}) - \mathbf{v}_j(\mathbf{w})) \mathbf{n} > 0\}$$

- In Animationssequenzen ist $\mathbf{w} = \mathbf{w}_t$
- Nutze zur Berechnung der Begrenzungsseite zu n zeitliche Kohärenz:

$$N = \{j \mid (i^*, j) \in A\}$$

foreach $j \in N$

$$\text{if } (\mathbf{v}_i(\mathbf{w}) - \mathbf{v}_j(\mathbf{w})) \mathbf{n} < 0 \text{ then}$$

$$i^* = j$$

G. Zachmann Virtuelle Realität und Simulation – WS 10/11 Kollisionserkennung 76

Time-Critical Kollisionserkennung

- “Kollisionserkennung ohne Polygone”
- völlige Exaktheit oft nicht nötig \rightarrow approximative Kollisionserkennung
- Probleme der klassischen Traversierung:
 - Früher Abbrechen geht nicht
 - Kein “Level-of-Detail” (Qualität gegen Geschwindigkeit)
- Ziel: Kontinuierliche und kontrollierte Balancierung zwischen Laufzeit und Exaktheit
- Freiheitsgrad im klassischen Traversierungsalgo ausnutzen
- Neuer Algo:
 - Schätze für jedes Paar Wahrscheinlichkeit einer Kollision darin
 - Traversiere zuerst Paare mit hoher Wahrscheinlichkeit
 - Kein Stack mehr, sondern Priority-Queue



G. Zachmann Virtuelle Realität und Simulation – WS 10/11 Kollisionserkennung 77

Wahrscheinlichkeitsgesteuerter Algo

priority queue q;

(A,B) ←

--	--	--	--

(A,B)

(A₁,B₁), p=0,9
 (A₁,B₂), p=0
 (A₂,B₁), p=0,5
 (A₂,B₂), p=0

Traverse(A,B)

P-queue q

```

q.insert(A,B,1)
while q nicht leer
  A,B ← q.pop
  forall Ai, Bj
    p ← Pr[ Kollision in Ai, Bj ]
    if p ≥ pmin
      return "Kollision"
    if p ≥ 0
      q.insert(Ai, Bj, p)
  return "keine Kollision"
    
```

G. Zachmann Virtuelle Realität und Simulation — WS 10/11
Kollisionserkennung 78

Kollisionzellen

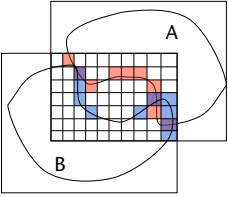
"Kollisionzelle"

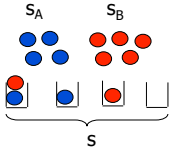
G. Zachmann Virtuelle Realität und Simulation — WS 10/11
Kollisionserkennung 79

Abschätzung der Wahrscheinlichkeit

- “Wohlgefüllt” heißt, daß gesamter Flächeninhalt in der Zelle bestimmten Schwellwert überschreitet.
- Laufzeit: 2. kann man leicht aus Gesamtzahl wohlgefüllter Zellen ableiten;
3. reine Kombinatorik (rote und blaue Kugeln in Kästen werfen, jeder Kasten darf max ein rote und max eine blaue Kugel enthalten)
- Achtung: nur Anzahlen gemerkt / geschätzt! Keine genaue Lage der Zellen.

$$Pr = 1 - \frac{s_B \binom{s-s_B}{s_A}}{\binom{s}{s_A}}$$





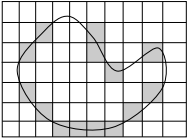
"Balls into Bins"

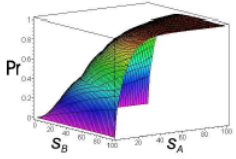
G. Zachmann Virtuelle Realität und Simulation – WS 10/11
Kollisionserkennung 80

Effiziente Implementierung

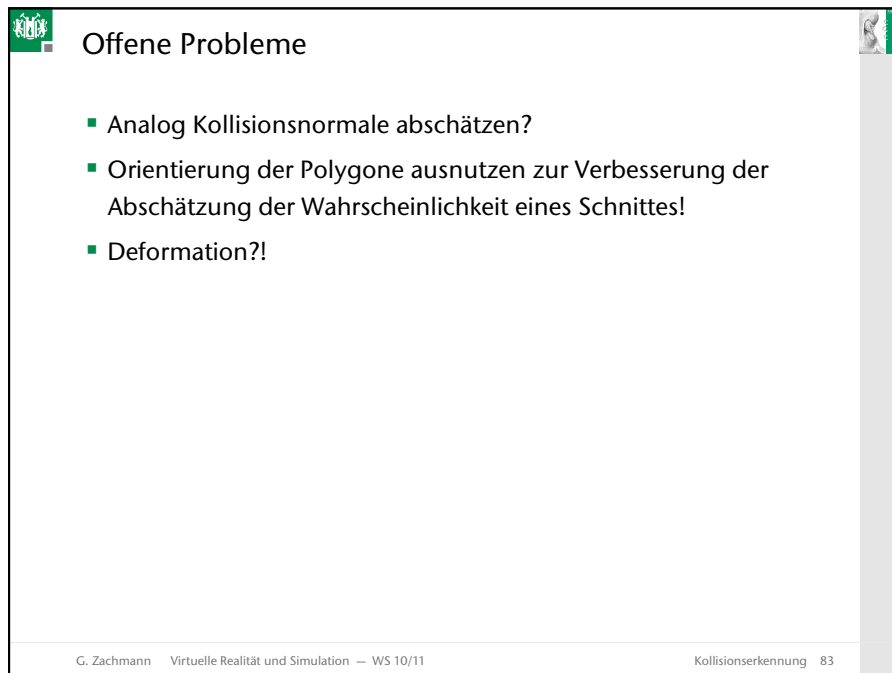
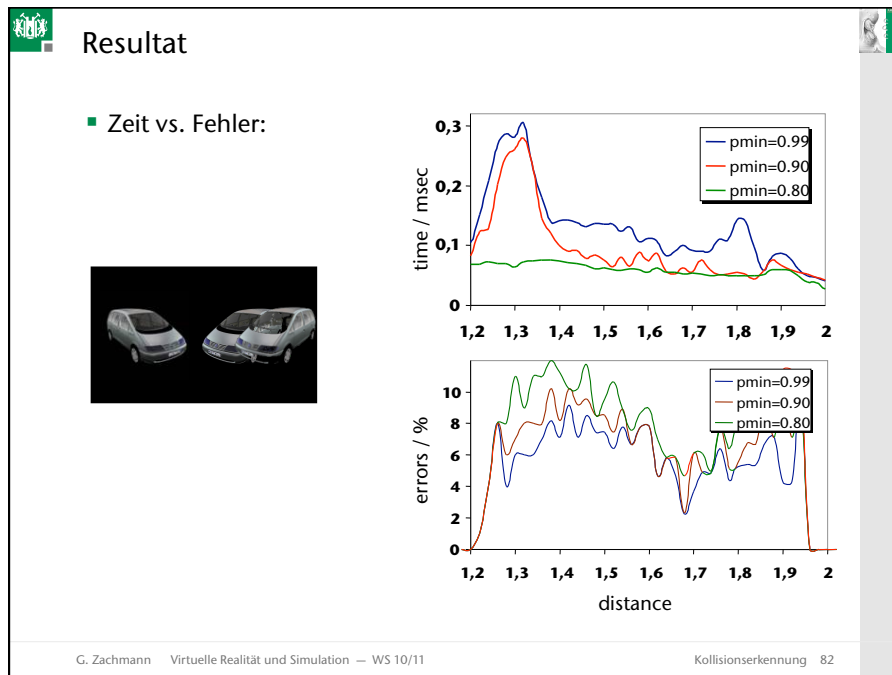
- Partitionierung und Zählen der wohlgefüllten Zellen zur Laufzeit zu teuer
- Lösung: Preprocessing und weitere Abschätzungen zur Laufzeit
- Preprocessing:
 - Partitioniere BV mit Gitter
 - Zähle Anzahl “wohlgefüllter” Zellen
 - Am Knoten speichern $\rightarrow s_A$
- Zur Laufzeit s_A und s_B abschätzen:

$$s'_A = s_A \frac{\text{Vol}(A)}{\text{Vol}(A \cap B)}$$
- Funktion Pr vorberechnen für alle möglichen Parameter \rightarrow *Lookup-Table (preprocessing)*





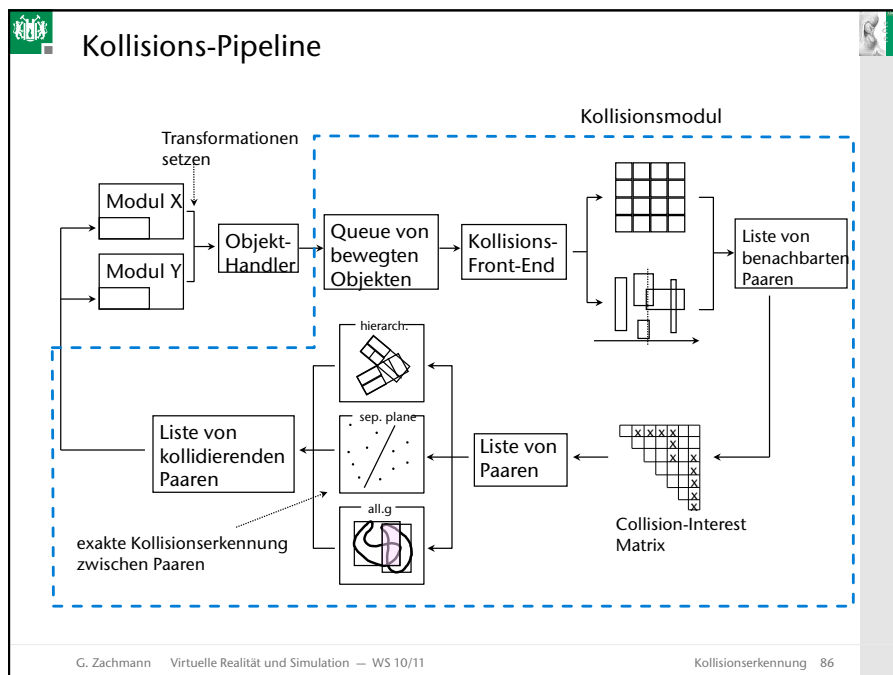
G. Zachmann Virtuelle Realität und Simulation – WS 10/11
Kollisionserkennung 81



Inkrementelle hierarchische Kollisionserkennung?

- Denkaufgabe:
 - Hierarchischer Algorithmus, der *Frame-to-Frame*-Kohärenz ausnutzt
 - Was muß er sich merken von einem Frame zum nächsten?
 - Wie funktioniert die Aktualisierung?
 - Leicht: Faktor 2 Beschleunigung (maximal, nicht in praktischen Fällen)
- Frage:
 - Geht mehr als Faktor 2?

G. Zachmann Virtuelle Realität und Simulation – WS 10/11 Kollisionserkennung 85



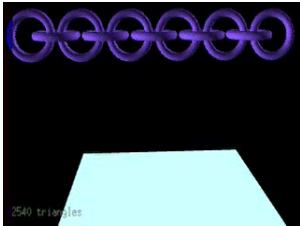
Offene Fragen / aktuelle Forschung

- Deformierbare Objekte!
 - Effiziente hierarchische Datenstruktur für sich beliebig verformende Objekte aussehen? (“flexible” hierarchische Datenstrukturen?)
 - Andere Datenstruktur?
- Kollisionserkennung für Punktwolken / NURBS!
- Wie bestimmt man schnell eine Art Eindringtiefe? (wichtig für physikalisch basierte Simulation)
- Was ist die *worst-case* Komplexität für Kollisionserkennung? (Ist der *worst-case* $O(n^2)$? Für konvexe, still-stehende Polyeder gibt es $O(\log^3 n)$ Algo’s)
- Deterministische Variante des *Separating-Planes-Algo*?
- Und viele mehr ...

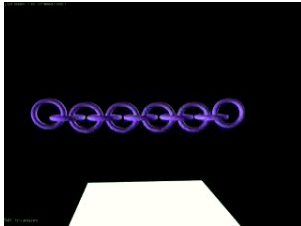
G. Zachmann Virtuelle Realität und Simulation – WS 10/11 Kollisionserkennung 87

Beispiel physikalisch-basierte Simulation

Die Geschwindigkeit der Kollisionserkennung bestimmt die Geschwindigkeit der Simulation ...



BBox-Pipeline



hierarchischer Algo
(DOP-trees)

G. Zachmann Virtuelle Realität und Simulation – WS 10/11 Kollisionserkennung 88

